

ارزیابی روش‌های ارائه شده به منظور بازیابی فاز در روش تداخل‌سنجدی راداری متداول

امین توکلی اصطهباناتی^۱، مریم دهقانی^{۲*}، علیرضا امیری سیمکویی^۳

۱- دانشجوی کارشناس ارشد، ۲- استادیار، بخش مهندسی راه، ساختمان و محیط زیست، دانشکده مهندسی، دانشگاه شیراز-۳- دانشیار، دانشگاه اصفهان
(دریافت: ۹۵/۱۰/۱۰؛ پذیرش: ۹۶/۰۶/۰۶)

چکیده

از روش تداخل‌سنجدی رادار با روزنه مصنوعی می‌توان برای استخراج توپوگرافی یا برآورد جابه‌جایی سطح زمین استفاده کرد. یکی از مهمترین مراحل تخمین جابه‌جایی از یک تداخل‌نگاشت، بازیابی فاز می‌باشد که نتایج را بهشت تحت تأثیر قرار می‌دهد. بهدلیل ماهیت مسئله بازیابی باز، پیداکردن تعداد سیکل‌های صحیح فاز از دست‌رفته یک مسئله بحرانی و سخت است. اگر در بحث تداخل‌سنجدی از روش تداخل‌سنجدی راداری متداول استفاده شده باش، فازها به صورت منظم در سطح تداخل‌نگاشت پراکنده می‌شوند. در طی سالیان اخیر، روش‌های متعددی برای بازیابی فاز در فضای منظم ارائه شده است. از آن جا که تاکنون تحقیقی جامع درخصوص ارزیابی روش‌های مختلف بازیابی فاز صورت نگرفته، این مقاله به معرفی مهم‌ترین روش‌های بازیابی فاز در فضای منظم استفاده می‌شود، تعدادی از روش‌های با عملکرد بهینه‌تر بررسی بیشتر موقع به منظور بازیابی فاز از روش‌های بازیابی فاز در فضای منظم استفاده می‌شود، تعدادی از روش‌های با عملکرد بهینه‌تر بررسی داده‌های واقعی ماهواره ENVISAT ASAR مربوط به منطقه دشت تهران اعمال و مورد ارزیابی قرار گرفت.

واژگان کلیدی

تداخل‌نگاشت، بازیابی فاز، فضای منظم، تداخل‌سنجدی متداول

ذکر شده، مقدار این فازهای بازیابی نشده^۱ (دارای ابهام) باید بازیابی شوند و از آن‌جایی که خطای اندازه‌گیری یکی از مهم‌ترین منابع خطایی است که منجر به بروز اشتباه در بازیابی فاز می‌شود، تلاش‌های زیادی در جهت افزایش اطمینان کلی الگوریتم‌های بازیابی فاز صورت گرفته است.

تمامی الگوریتم‌های بازیابی فاز معمولاً بر این فرض استوار هستند که فازهای بازیابی شده صحیح در بیشتر مکان‌ها به آرامی تغییر می‌کنند، یعنی مقادیر پیکسل‌های همسایه باید اختلاف فازی کمتر از نیم سیکل (π رادیان) داشته باشند (شرط نایکوئیست). اگر این فرض در تمام مناطق تصویر برقرار بود، می‌توان بهسادگی درون تداخل‌نگاشت در امتداد هر مسیری از یک پیکسل به پیکسل دیگر فاز پیکسل‌ها را بازیابی کرد. لیکن در اکثر تداخل‌نگاشتها نقاطی وجود دارند که اختلاف فاز آن‌ها بیشتر از نیم سیکل است. با این وجود، فرض قراردادشتن اختلاف فاز پیکسل‌های همسایه در محدوده نیم سیکل در اکثر مناطق تداخل‌نگاشت تقریباً صحیح درنظر گرفته می‌شود. با این حال، چون در بازیابی فاز از یک پیکسل به پیکسل بعدی حرکت می‌کنیم، وجود خطا در یکی از اختلاف فازها باعث ایجاد خطای

۱- مقدمه

روش تداخل‌سنجدی راداری^۱ (InSAR) یکی از روش‌های برآورد جابه‌جایی یا توپوگرافی سطح زمین است. در این روش، تصاویر مختلط راداری که شامل دامنه و فاز موج برگشتی از عارضه به سمت سنجنده هستند، با یکدیگر تلفیق شده و یک تداخل‌نگاشت^۲ را تشکیل می‌دهند. آنچه در یک تداخل‌نگاشت به عنوان مشاهده در اختیار است مجموعه‌ای از فازها می‌باشد که بسته به این که از روش‌های تداخل‌سنجدی متداول^۳ یا از پراکنش‌کننده‌های پایدار^۴ استفاده کنیم به ترتیب به صورت منظم یا نامنظم در سطح تصویر پراکنده شده‌اند. فازهای یک تداخل‌نگاشت، مقداری بین صفر و 2π دارند که به این صورت قابل استفاده نمی‌باشند. بازیابی فاز^۵ که یکی از مراحل روش تداخل‌سنجدی راداری است، فرآیندی است به منظور برآورد فازهای بدون ابهام از آرایه‌ای دو بعدی از مقدار فازهایی که بین صفر تا 2π مدوله شده‌اند. در تمامی کاربردهای

*نویسنده مسئول: dehghani_rsgsi@yahoo.com

1- SAR Interferometry (InSAR)

2- Interferogram

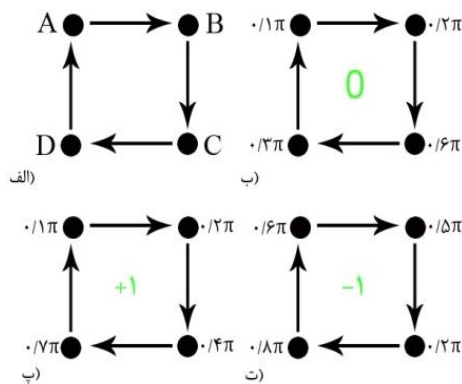
3- Conventional

4- Persistent Scatterer (PS)

5- Unwrapping

حول یک لوپ، یا چرخه بسته، اطراف یک مربع 2×2 از پیکسل‌های یک تداخل نگاشت، نتیجه‌ای برابر با 0 یا 1 یا -1 خواهد داشت (شکل ۱). این شکل، نحوه تعیین باقیمانده را نشان می‌دهد. جواب‌های غیر صفر بار یا باقیمانده نامیده می‌شوند و براساس این فرض که تفاضل فازهای بازیابی نشده کمتر از نیم سیکل است، این جواب‌های غیر صفر نشان‌دهنده آشفتگی و گسیختگی بین داده‌ها می‌باشد.

خروجی روش‌های تداخل سنجی متداول دسته‌ای از فازهای دارای ابهام (بازیابی نشده) می‌باشند که بهصورت منظم در کنار یکدیگر توزیع شده‌اند. همان‌طور که بیان شد، دو رویکرد بهمنظور بهدست آوردن فازهای بازیابی شده (بدون ابهام) وجود دارد. به سبب پیشینه و قدمت روش‌های تداخل سنجی متداول، الگوریتم‌های بازیابی فازی که بر مبنای آن‌ها تعریف شده‌اند، تنوع زیادی دارند.



$$\left[\frac{\Psi_B - \Psi_A}{\pi} \right] + \left[\frac{\Psi_C - \Psi_B}{\pi} \right] + \left[\frac{\Psi_D - \Psi_C}{\pi} \right] + \left[\frac{\Psi_A - \Psi_D}{\pi} \right] = \text{باقیمانده}$$

$$0/1 + 0/4 - 0/3 - 0/2 \quad (ب)$$

$$0/1 + 0/2 + 0/3 + (0/1 - 0/7 + 1) \quad (ب)$$

$$-0/1 - 0/3 + (0/8 - 0/2 - 1) - 0/2 \quad (ت)$$

شکل (۱): نحوه تعیین باقیمانده. در تصویر (الف) نحوه قرارگیری یک مربع 2×2 بر روی مشاهدات یک تداخل نگاشت نمایش داده است. در تصاویر (ب، پ و ت) به ترتیب مثال‌هایی برای باقیمانده‌های 0 ، 1 ، -1 ، آورده شده است.

۱-۱- بازیابی فاز به صورت عمومی یا سراسری

رویکرد اول بدین‌گونه است که کل مسئله بهصورت بهینه‌سازی یک تابع هدف و یک تابع هزینه در کنار قیودی که اعتبار مسئله را تأیید می‌کند، تعریف می‌شود. این تابع هدف می‌تواند تابعی از حاصل جمع تمام فازها یا تابعی از حاصل جمع تمام اختلاف فازها باشد [۱۰]. به منظور افزایش بازده محاسباتی فرض می‌شود که

پیکسل بعدی می‌شود. بنابراین، اگر بهصورت مناسبی با این مسئله برخورد نشود، اختلاف فازهای بزرگ‌تر از نیم سیکل ممکن است باعث ایجاد خطاهای بزرگ‌تری شوند که کل مناطق تداخل نگاشت را تحت تأثیر قرار خواهند داد.

مجموعه‌ای از فازهای بازیابی شده حاوی اطلاعاتی هستند که پس از مدوله شدن فازها در بازه صفر تا 2π ، در مجموعه فازهای بازیابی نشده وجود ندارند. بنابراین، بازیابی فاز بهصورت دقیق یک مسئله غیرممکن می‌باشد. با این وجود، الگوریتم‌های متفاوتی بسته به نحوه توزیع مشاهدات تاکنون ارائه شده‌اند که در این جا مروری کلی بر روی آن‌ها خواهیم داشت. روش‌های بازیابی فازی که بر مبنای تداخل سنجی متداول هستند، به سبب تاریخچه آن‌ها، تنوع و گستردگی فراوانی دارند. به سبب نحوه مدل‌سازی و برخورد با مسئله بازیابی فاز، می‌توان آن‌ها را به دو دسته تقسیم کرد. دسته اول، روش‌هایی هستند که یک حل کلی از مسئله ارائه می‌دهند^۱ که از نمونه‌های آن‌ها می‌توان به [۴، ۲۱، ۳] اشاره کرد. دسته دوم، الگوریتم‌هایی هستند که بهصورت موضعی و محلی^۲ مسئله را حل می‌کنند. از نمونه‌های این روش‌ها می‌توان [۱، ۵، ۶، ۷، ۸] را نام برد. در طرف دیگر الگوریتم‌هایی وجود دارند که مبنای کار آن‌ها براساس پرآشیش‌کننده‌های پایدار است. روش‌های حل آن را نیز می‌توان به دو دسته تقسیم کرد که معرفی این روش‌ها را به مقالات بعدی واگذار می‌کنیم.

به‌طور کلی، در مبحث بازیابی فاز در یک تداخل نگاشت، دو رویکرد وجود دارد: دسته‌ای که سعی بر بازیابی فاز تمام پیکسل‌ها بهصورت کلی و یکجا دارند و دسته دوم که سعی بر حل مسئله بهصورت محلی و موضعی دارند. روش‌های متعددی براساس هریک از رویکردها ارائه شده‌اند که نسبت به یکدیگر معایب و مزایایی دارند. در ادامه به بررسی آن‌ها خواهیم پرداخت.

۲- روش‌های بازیابی فاز در فضای منظم

یکی از مهم‌ترین مفاهیم در بحث بازیابی فاز مفهوم باقیمانده^۳ است. در مجموعه‌ای از فازهای بازیابی شده صحیح، مقدار اختلاف فازها حول یک لوپ بسته همیشه باید برابر صفر باشد. در مجموعه‌ای از فازهای بازیابی نشده، مقدار حقیقی اختلاف فازهای بزرگ‌تر از نیم سیکل به مقادیر مختلفی در بازه صفر تا 2π مدوله خواهند شد و این باعث می‌شود که مقدار مجموع اختلاف فازها حول یک لوپ بسته برابر صفر نباشد. این ویژگی توسط گلدشتین^۴ و همکارانش برای تعیین محل ناپیوستگی‌ها و جهش فازها استفاده شده است [۵]. حاصل جمع اختلاف فازهای تبدیل شده

1- Global (Path-Independent)

2- Local (Path following)

3- Residue

4- Goldstein

کمترین مربعات ابتدا بردار تفاضل فازها تعیین می‌گردد و سپس با توجه به قبودی به منظور دستیابی به حلی هموار و نرم با یکدیگر جمع می‌شوند.

الگوریتم کمترین مربعات عادی، بدون وزن به صورت زیر اعمال می‌شود.تابع Φ را به عنوان فاز بازیابی نشده در نقطه i و j از یک ماتریس داده دو بعدی در نظر بگیرید. در این روش، فازهای بازیابی و نرم شده $\Delta\phi_{i,j}$ به نحوی تعیین می‌گردد که تفاضل بین اختلاف فازهای محاسبه شده از فازهای بازیابی نشده و فازهای بازیابی شده فرضی کمینه گردد. هانت نشان داد که این مسئله را می‌توان به صورت زیر مدل کرد:

$$s = P\phi + n \quad (3)$$

که در آن، s برداری از شبیه فازهای اندازه‌گیری شده از Φ می‌باشد. P یک ماتریس شامل اعداد $0, 1$ و -1 است که عملگرهای تفاضلی سط्रی و ستونی را تعریف می‌کند. ϕ بردار مجهولات که شامل فازهای بازیابی شده است و n نیز بردار نویز مشاهدات است. حل مسئله کمترین مربعات به صورت زیر می‌باشد:

$$\phi = (P^T P)^{-1} P^T s \quad (4)$$

در بحث تداخل‌سنجدی راداری تابع زیر کمینه می‌شود:

$$\text{minimize} \left\{ \sum_{i=0}^{M-2} \sum_{j=0}^{N-1} (\phi_{i+1,j} - \phi_{i,j} - \Delta_{i,j}^x)^2 + \sum_{i=0}^{M-1} \sum_{j=0}^{N-2} (\phi_{i,j+1} - \phi_{i,j} - \Delta_{i,j}^y)^2 \right\} \quad (5)$$

که در آن، به ترتیب $\Delta_{i,j}^x$ و $\Delta_{i,j}^y$ اختلاف فاز سطري و ستونی فازهای بازیابی نشده می‌باشد. اختلاف فازهای سطري و ستونی به صورت زیر محاسبه می‌شوند:

$$\begin{aligned} \Delta_{i,j}^x &= \phi_{i+1,j} - \phi_{i,j} \\ \Delta_{i,j}^y &= \phi_{i,j+1} - \phi_{i,j} \end{aligned} \quad (6)$$

با مشتق‌گیری از معادله (5) و برابر صفر قراردادن آن، جواب بهینه کمترین مربعات حاصل می‌شود. بنابراین، خواهیم داشت:

$$\begin{aligned} (\phi_{i+1,j} - 2\phi_{i,j} + \phi_{i-1,j}) &+ (\phi_{i,j+1} - 2\phi_{i,j} + \phi_{i,j-1}) \\ &= (\Delta_{i,j}^x - \Delta_{i-1,j}^x) \\ &+ (\Delta_{i,j}^y - \Delta_{i,j-1}^y) \end{aligned} \quad (7)$$

بر اساس تجزیه هلمهولتز^۷، اگر چرخش یک تابع صفر باشد،

تابع هدف در جهت‌های Range و Azimuth جدایی‌پذیر باشد. بنابراین، تابع هدف را می‌توان به صورت زیر نوشت:

$$\begin{aligned} \text{minimize} & \left\{ \sum_i \sum_j g_{i,j}^r (\Delta\phi_{i,j}^r - \Delta\Psi_{i,j}^r) \right. \\ & \left. + \sum_i \sum_j g_{i,j}^a (\Delta\phi_{i,j}^a - \Delta\Psi_{i,j}^a) \right\} \end{aligned} \quad (1)$$

که در آن، $\Delta\phi_{i,j}^r$ و $\Delta\Psi_{i,j}^r$ به ترتیب اختلاف فازهای بازیابی شده (بدون ابهام) و اختلاف فازهای بازیابی نشده (دارای ابهام) در جهت رنج و به همین ترتیب $\Delta\phi_{i,j}^a$ و $\Delta\Psi_{i,j}^a$ مقادیر متناظر در جهت آزمیوت می‌باشند. برخی از مقالات اختلاف فازهای بازیابی نشده را "شب" می‌نامند [۷].^۸ نیز تابع هزینه نامیده می‌شود که سعی بر کمینه‌کردن هزینه کلی حل مسئله دارد.

در برخی از مقالات، قالب کاری مسئله بازیابی فاز به نحوی تعیین شده است که توابع هزینه محدود و مشروط به حالت زیر باشند:

$$g(\Delta\phi, \Delta\Psi) = w|\Delta\phi - \Delta\Psi|^p \quad (2)$$

از آنجایی که توابع هزینه با ثابت p محاسبه می‌شوند و وزن‌های مستقل w به صورت مقیاس عمل می‌کنند، تمام توابع هزینه به یک شکل می‌باشند. نتیجه این تابع هدف بیانگر یک مسئله کمینه‌سازی نرم LP وزن دار است. هنگامی که p برابر با ۲ باشد، مسئله به مسئله کمینه‌سازی کمترین مربعات وزن دار تبدیل می‌شود. راهکارهای متعددی برای حل این مسئله ارائه شده است. هرگاه p برابر با ۱ باشد، خطی‌بودن تابع هدف موجب یک حل کارآمد می‌شود [۷].

۱-۱-۲- کمترین مربعات وزن دار با استفاده از تبدیل کساین گسسته^۹

قیگلیا^{۱۰} و رومرو^{۱۱} الگوریتم ریاضی ارائه شده توسط هانت^{۱۲} را برای استفاده در مسئله بازیابی فاز در تصاویر تداخل‌سنجدی توسعه دادند [۱۱]. هانت فرمول‌بندی ماتریسی مناسبی را جهت مسائل عمومی بازسازی فاز توسعه داد. قیگلیا و رومرو دریافتند که تبدیل کساین گسسته این امکان را می‌دهد که در مسئله کمترین مربعات یک معکوس‌گیری دقیق و مؤثر داشته باشیم، حتی هنگامی که در تداخل‌سنجدی راداری با ماتریس‌های بزرگ روبرو می‌شویم [۱۱]. هر دو راه حل، کمترین مربعات عادی^{۱۳} و وزن دار^{۱۴} توسط این دو محقق مورد بررسی قرار گرفت. در الگوریتم‌های

1- Weighted Least Squares Using Cosine Transform

2- Ghiglia

3- Romero

4- Hunt

5- Least Squares (LS)

6- Weighted Least Squares (WLS)

کمترین مربعات وزن دار خروجی مناسب‌تر و دقیق‌تری نسبت به کمترین مربعات عادی دارد.

۲-۱-۲- کم‌هزینه‌ترین جریان^۵ (MCF)

الگوریتم بازیابی فاز کم‌هزینه‌ترین جریان مسأله کمینه‌سازی هزینه کلی جریان بین باقی‌مانده‌هایی که حول یک لوب بسته تشکیل شده‌اند را بیان می‌کند. این الگوریتم را می‌توان اdagامی از الگوریتم حذف شاخه‌ها [۵] با تئوری شبکه‌ها دانست. یک الگوریتم MCF ساده‌اما دقیق باید مراحل زیر را دنبال کند:

- ۱- مقداردهی اولیه شبکه با استفاده از یک جریان مناسب
- ۲- استفاده از الگوریتم دایجسترا^۶ جهت یافتن چرخه‌های منفی
- ۳- حذف این چرخه‌های منفی با القاکردن جریان بر روی آن‌ها
- ۴- حذف این چرخه‌های منفی تا زمانی که دیگر هیچ چرخه منفی در شبکه باقی نمانده باشد. اجرا و بیان الگوریتم MCF بدین‌سان ساده است، اما در عمل، روش‌های دیگر برای حل مسأله MCF سریع‌تر هستند.

همان‌طور که در ابتداء اشاره شد، استفاده از نرم‌های کوچک‌تر منجر به حل کارآمدتر خواهد شد. روش‌های کمترین مربعات عادی باعث پخش‌شدن خطای بین نقاط می‌شوند و دقت خوبی ندارند. روش کمترین مربعات وزن دار نیز از یک الگوریتم تکراری استفاده می‌کند و همانند کمترین مربعات عادی کارایی چندانی ندارد. همچنین، نتیجه حاصله وابسته به وزن‌های تخصیص داده شده به آن‌ها می‌باشد [۷]. این دلایل باعث می‌شود که مسأله بازیابی فاز به صورت یک مسأله کلی کمینه‌سازی متغیرهای صحیح مطرح شود.

مسأله کمینه‌سازی با متغیرهای صحیح معمولاً از نظر محاسباتی پیچیده است. با این حال، بهره‌بردن از ساختار شبکه^۷ یک استراتژی مؤثر برای حل مسأله کمینه‌سازی است. در اصل با انتخاب نُرم L1 وزن دار به عنوان معیار خطای، مسأله بازیابی فاز می‌تواند با مسأله پیداکردن کمترین جریان بر روی شبکه که برای آن راه حل مؤثری وجود دارد، هم‌ارز و برابر در نظر گرفته شود.

کستانتینی^۸ [۲] از همارزی بین مسأله مقید درخت پوشای کمینه^۹ و MCF برای فرموله کردن مسأله در قالب یک مسأله شبکه استفاده کرد. فرمول‌بندی روش MCF این امکان را می‌دهد که یک معیار کیفیت را در قالب توابع هزینه برای جانمایی خودکار محل حذف شاخه‌ها^{۱۰} داشته باشیم. MCF این امکان را

حل نرم LP به معادله پواسن^۱ زیر کاهش می‌یابد:

$$\nabla^2 \hat{\Phi} = \nabla^2 \varphi \quad (8)$$

که در آن، ∇^2 بیان‌کننده اپراتور لاپلاسین و $\hat{\Phi}$ فاز بازیابی شده تخمینی است. سمت راست معادله بالا را می‌توان مستقیماً از روی مشاهدات محاسبه کرد. همان‌طور که مشاهده می‌شود، معادله (7) بیان‌کننده تجزیه هلمهولتز است. پس حل این مسأله، کمترین مربعات بدون وزن معادل با حل مسأله پواسن با شرط مرزی نیومن می‌باشد. شرط مرزی نیومن بیان می‌کند که شبیب فازهای بازیابی شده و شبیب فازهای بازیابی نشده با یکدیگر برابر هستند. در معادله (8) با استفاده از ارتباط بین کاتولوشن در فضای مکان و ضرب در فضای فرکانس، می‌توان اپراتور لاپلاسین را دی کاتولو کرد. بنابراین، با استفاده از تبدیل کساین گسسته یا تبدیل فوریه گسسته^{۱۱} می‌توان به جواب مناسبی رسید.

اگر تعدادی نقطه در تداخل‌نگاشت وجود داشته باشند که نسبت به بقیه مورد اعتمادتر باشند، به عنوان مثال، دارای همبستگی بیشتری باشند، بایستی از الگوریتم کمترین مربعات وزن دار استفاده کرد. با اضافه کردن جذر ماتریس وزن برای هر نقطه به معادله (۳) داریم:

$$W_S = WP\phi + n \quad (9)$$

که در آن، W جذر ماتریس وزن است. بنابراین، معادله نرمال برای کمترین مربعات وزن دار به صورت زیر بیان می‌شود:

$$\phi = (P^T W^T W P)^{-1} P^T W^T W_S \quad (10)$$

متاسفانه کمترین مربعات وزن دار منجر به همان معادله پواسن نمی‌شود. بنابراین، تبدیل گسسته کساین را نمی‌توان به صورت مستقیم اعمال کرد. با این وجود، قیکلیا و رومرو نشان دادند که برخی از روش‌های تکراری که از تبدیل کساین استفاده می‌کنند، جواب‌های مطلوبی دارند. یک روش دیگر برای یافتن جواب بهینه، استفاده از گرادیان مزدوج^{۱۲} می‌باشد [۱۲]. دقت حل مسأله به وزن‌های در نظر گرفته شده برای هر نقطه وابسته می‌باشد. دو گرینه عادی برای انتخاب وزن‌ها همبستگی مشاهدات تداخل‌سنگی یا نسبت سیگنال به نویز می‌باشد. روش‌های متعدد دیگری نیز برای انتخاب وزن‌ها توسط پریت^{۱۳} [۱۳] ارائه شده است. وزن‌ها باید به گونه‌ای انتخاب شوند که محل‌هایی که احتمال گسیختگی و آشفتگی در آن‌ها بیشتر است، تأثیر کمتری در تابع هدف داشته باشند. به همین علت است که

1- Poisson

2- Discrete Fourier Transform

3- Conjugate Gradient

4- Pritt

5- Minimum Cost Flow (Mcf)

6- Dijkstra

7- Network Structure

8- Costantini

9- Minimum Spanning Tree (Mst)

10- Brach- Cuts

محاسبات کارایی مهمی دارند.

۳-۱-۲ SNAPHU

هدف این الگوریتم به دست آوردن فازهای بازیابی شده با استفاده از توابع هزینه-آماری در فضای شبکه-جریان^۲ است. چن^۳ و زبکر^۴ [۷] براساس فرم ساده توابع هدف کمینه نرم LP مینیمم، تابع هدفی را ارائه دادند که مسئله بازیابی فاز را به شکل یک مسئله تخمین آماری بیان می‌کند. این تابع هدف به شکل زیر می‌باشد:

$$\text{minimize} \left\{ \sum_k g_k(\Delta\phi_k, \Delta\Psi_k) \right\} \quad (13)$$

که در آن، $\Delta\phi$ و $\Delta\Psi$ به ترتیب اختلاف فازهای بازیابی شده و بازیابی نشده می‌باشد. بهر شیب فاز، یا هر کمان در مدل شبکه، یک تابع هزینه دلخواه مستقل (.)^۵ g که جریان کمان، $\frac{\Delta\phi - \Delta\Psi}{2\pi}$ را در یک هزینه اسکالر تصویر می‌کند، اختصاص داده شده است. اندیس k شامل تمامی گرادیان‌های سط्रی و ستونی می‌باشد. بنابراین، هزینه کلی تابع هدف برابر با حاصل جمع هزینه تمامی کمان‌ها می‌باشد.

چن و زبکر در تعریف توابع هزینه از چهارچوب تخمینی بیشینه‌گر احتمال پسین^۶ استفاده کردند. تابع هزینه کمان‌ها به نحوی تعیین شده است که کمینه کدن هزینه کلی تقریباً احتمال بازیابی فاز از داده‌های مشاهداتی را بیشینه کند. این توابع هزینه متشکل از لگاریتم‌های منفی از تابع چگالی احتمال گرادیان‌های بازیابی شده، هستند.

$$g_k(\Delta\phi_k, \Delta\Psi_k) = -\log f(\Delta\phi_k | \Delta\Psi_k, I, \rho) \quad (14)$$

که در اینجا، f(.) بیانگر تابع احتمال شرطی از فازهای بازیابی شده براساس شیب مشاهدات بازیابی نشده $\Delta\phi$ ، I مؤلفه شدت تصویر و ρ همبستگی مشاهدات تداخل‌سنگی می‌باشد. بنابراین، تابع هزینه (.)⁶ g و استه مقدادیر محلی مشاهدات است و شکل آن در طول تداخل‌نگاشت تغییر می‌کند. شکل واقعی این تابع با توجه به کاربردهای مختلف تداخل‌سنگی راداری متفاوت است.

متأسفانه شکل پیچیده این تابع هزینه آماری مسئله بازیابی فاز را به یک مسئله بهینه‌سازی واگرا و سخت تبدیل می‌کند. با این وجود، می‌توان این مسئله را با بهره جستن از روش‌های غیرخطی شبکه-جریان حل کرد. راه حل SNAPHU برای ایجاد بهبود در حل جریان-میسر از یک الگوریتم تکراری حذف

می‌دهد که مسئله را برای مقادیر صحیح سیکل فازی، $K_{i,j}$ ، که نیاز است به هر لبه از گرید بازیابی فاز اضافه شود، حل شود.

هرگاه تابع هزینه غیرصفر $C_{i,j}$ معرفی شود که همراه با اضافه کردن یک واحد سیکل فاز بر روی هر کدام از لبه‌ها باشد، مسئله بازیابی فاز دو بعدی را می‌توان به صورت یک مسئله کمینه‌سازی خطی همراه با متغیرهای حقیقی بیان کرد. همچنین، این موضوع بیان کننده یک مسئله MCF بر روی شبکه می‌باشد.

$$\text{minimize} \sum_{\forall(i,j) \in E} C_{i,j} \cdot \|K_{i,j}\| \quad (11)$$

مقید به:

$$\begin{aligned} K_{AB} + K_{BC} + K_{CD} + K_{DA} &= \left[\frac{\Psi_A - \Psi_B}{2\pi} \right] + \left[\frac{\Psi_B - \Psi_C}{2\pi} \right] \\ &+ \left[\frac{\Psi_C - \Psi_D}{2\pi} \right] + \left[\frac{\Psi_D - \Psi_A}{2\pi} \right] \end{aligned} \quad (12)$$

که در آن، K همان سیکل صحیحی است که از مسئله بهینه‌سازی به دست می‌آید.

$$\text{مقدار صحیح: } \forall(i,j) \in E$$

سمت راست معادله (۱۲) نشانگر باقی‌مانده‌هایی است که در هر لوب بسته محاسبه می‌شوند، شکل (۱) و (۲) بیانگر نرم L1 و E بیانگر تمامی لبه‌های موجود در یک گرید مربعی می‌باشد. مقدار سیکل صحیح فازی که نیاز است به مسئله اضافه شود به عنوان مقدار جریان صحیح برروی هر لبه در نظر گرفته می‌شود. به منظور هدایت کردن محل قرارگیری جهش فازهای تابع هزینه $C_{i,j}$ با استفاده از معیار کیفیتی که از خود داده‌ها استخراج شده است، معرفی می‌شود. الگوریتم‌های متعدد و متفاوتی برای حل مسئله MCF وجود دارند که توضیح آن‌ها از حوصله این بحث خارج است [۱۵]. آنچه اهمیت دارد استفاده از کارآمدترین الگوریتم MCF برای حل مسئله بازیابی فاز است.

اضافه کردن یک سری از ویژگی‌ها و پارامترها عملکرد محاسباتی را بهبود می‌بخشد. فرض کنید که b_1 و b_2 حداقل مقادیر صحیح نامنفی جهش فاز باشند. این فرض باعث می‌شود تا دو معادله زیر به مجموعه معادلات اضافه شود:

$$|k_1(i,j)| \leq b_1(i,j) \quad (i,j) \in S_1$$

$$|k_2(i,j)| \leq b_2(i,j) \quad (i,j) \in S_2$$

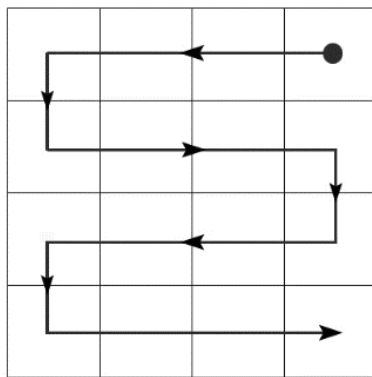
که در آن، S_1 و S_2 کلیه نقاط شبکه، k_1 و k_2 به ترتیب کلیه لبه‌های افقی و عمودی می‌باشند. این قیود که براساس فرض‌های اولیه نسبت به شبکه استوار می‌باشند برای افزایش دقت و سرعت

1-Statistical-cost Network-flow Algorithm for Phase Unwrapping
2- Network-flow
3- Chen
4- Zebker
5- Maximum a Posteriori (MAP)

الگوریتم‌ها را می‌توان بهوسیله خم‌های پرکننده فضا^۳ حل کرد. دسته دیگری از الگوریتم‌های بازیابی فاز وجود دارند که ابتدا با استفاده از یک نقشه کیفیت یا یک نقشه هزینه مسیرهای مناسب معرفی می‌گردد. سپس با استفاده از الگوریتم مناطق رشدکننده^۴ پیکسل بعدی انتخاب می‌شود و براساس تابع بازیابی فاز، فازها بازیابی می‌شوند. در این روش‌ها، ابتدا پیکسل‌های با کیفیت بالا یا هزینه پایین، در دسترس قرار می‌گیرند و سپس پیکسل‌های با کیفیت پایین یا هزینه بالا در دسترس قرار می‌گیرند.

۲-۱- بررسی خطی^۵

این الگوریتم جزء روش‌هایی است که از مسیرهای متوازی و پی‌درپی استفاده می‌کند (شکل ۲). در این روش، خطاهای موجود در مشاهدات از جمله سایه راداری^۶ و Aliasing در بین داده انتقال می‌باشد. این الگوریتم به همراه برخی فیلترها نیز مورد استفاده قرار می‌گیرد. این فیلترها از اطلاعات قبلی با فرض‌های خاصی در مسأله استفاده می‌کنند تا سطح اطمینان جواب را بالا ببرند.



شکل (۲): استفاده از مسیرهای متوازی و پی‌درپی در بازیابی فاز

۲-۲- ۲- بیشترین همبستگی^۷

مقدار همبستگی تداخل‌نگاشت را می‌توان به عنوان یک نقشه کیفیت در نظر گرفت، به طوری که نقاط با میزان شباهت بالا از کیفیت بالاتری جهت بازیابی فاز برخوردار خواهند بود. مقدار مختلط همبستگی یک تداخل‌نگاشت را می‌توان به صورت زیر محاسبه کرد [۱۳]:

$$\gamma = \frac{E[MS^*]}{\sqrt{E[MM^*] E[SS^*]}} \quad (15)$$

که در آن، E ، امید ریاضی، $*$ مزدوج مختلط، M تصویر پایه و

دینامیک سیکل‌های منفی^۸ [۵] استفاده می‌کند. در این الگوریتم برای مقداردهی اولیه جریان‌ها از الگوریتم درخت پوشای کمینه [۷] استفاده می‌شود. در هر تکرار راه حل MCF هزینه‌های افزایشی ارسال مقادیر گسسته جریان برروی هر کمان در هر جهت را محاسبه می‌کند. سپس حل MCF جریان را برروی لوپ‌های بسته، چرخه‌های جهت‌داری که در شبکه هزینه افزایشی منفی دارند، القاء می‌کند. بنابراین، مراحل MCF از یک حل تا حل مسیر بعدی مقدار هزینه کلی را کاهش می‌دهد.

۲-۲- بازیابی فاز به صورت موضعی یا محلی

رویکرد دوم که به نوعی می‌توان آن را زیر مجموعه و حالت خاصی از رویکرد اول دانست، از ایده دنبال‌کننده مسیر^۹ برای بازیابی فاز استفاده می‌کند. بدین صورت که، در طول مسیر بازیابی فاز نقاط ناپیوستگی به سرعت شناسایی و اصلاح می‌شوند. چنین رویکردهایی را محلی یا موضعی می‌نامند. زیرا همان‌طور که در ادامه بیان خواهد شد این الگوریتم‌ها برای رسیدن به جوابی که به صورت کلی بهینه باشد در هر مرحله از داده‌ها و اطلاعات محلی آن مرحله استفاده می‌کنند. شباهت این روش‌ها به رویکرد اول از آن جهت می‌باشد که اگر در تابع هدف معادله (۲)، p برابر صفر باشد، هدف کمینه‌کردن تعداد محلهای وزن‌داری است که در آن شیب فازهای بازیابی شده و فازهای بازیابی نشده تفاوت دارد [۳].

صرف‌نظر از نحوه انتخاب مسیر مورد نظر، روند کلی بازیابی فاز به دو بخش تقسیم می‌شود: ۱- انتخاب یا پیداکردن پیکسل بعدی، ۲- استفاده از یک تابع برای بازیابی فاز. برخی از روش‌ها با درنظر گرفتن یک تابع بازیابی فاز ساده، برقراری شرط نمونه‌برداری نایکوئیست، سعی بر بازیابی فاز دارند. اما دسته دیگری از الگوریتم‌ها این تابع را با یک فیلتر جایگزین می‌کنند.

از آن جایی که در روش‌های نرم LP مسأله به صورت کلی حل می‌شود، در برخی نقاط دقت جواب‌ها پایین است. به همین دلیل، سعی بر استفاده از روش‌هایی است که مقدار فاز بازیابی شده را به صورت محلی به دست آورند. در روش‌های بازیابی موضعی فاز ابتدا یک مسیر مناسب که در آن احتمال وقوع ناپیوستگی‌ها یا جهش فازهای ناگهانی کمتر است، در نظر گرفته می‌شود. سپس در طی مسیر با استفاده از یک تابع، فاز پیکسل مورد نظر با استفاده از پیکسل قبلی بازیابی می‌شود و به همین ترتیب، مسیر بعدی شناسایی و فاز آن بازیابی می‌شود. این روش‌ها از مسیرهای متوازی و پشت سر هم استفاده می‌کنند. در فضای دوبعدی این

1- Dynamic Cycle Canceling (DCC)

2- Path following

3- Space-fill-curves

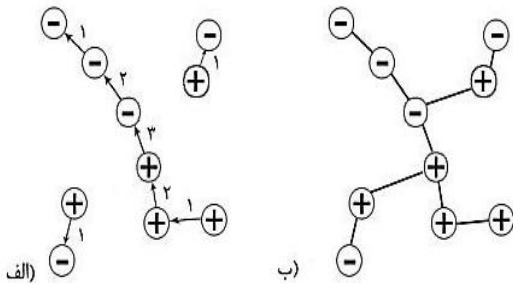
4- Region growing

5- Line Scan

6- Radar shadow

7- Maximum Coherence (MC)

طول مسیر بازیابی فاز از هیچ‌یک از شاخه‌های درختها عبور نکنند. این الگوریتم عموماً در مناطقی از تداخل‌نگاشت که همبستگی خوبی دارند، دقیق است. حال آنکه در مناطقی با شباهت کم، تراکم و چگالی زیاد نقاط باقی‌مانده شاخه‌های را ایجاد می‌کند که بر روی یکدیگر بسته شده‌اند و مانع حرکت و بازیابی فاز در کل مناطق تداخل‌نگاشت می‌شود. نتیجه این اتفاق به وجود آمدن مناطق مجزایی^۴ در سطح تداخل‌نگاشت است.



شکل (۴): درخت پوشای کمینه تمامی باقی‌مانده‌ها را در بر می‌گیرد، الف) در الگوریتم حذف شاخه‌ها، احتمال رخدادن گسیختگی در درخت‌های خنثی است، عدددها بیانگر اندازه جریان می‌باشند.
ب) اتصال باقی‌مانده‌ها در درخت پوشای کمینه.

۵-۲-۲- درخت پوشای کمینه

الگوریتم درخت پوشای کمینه یک بازنگری بر روی الگوریتم حذف شاخه‌ها می‌باشد. بنابراین، بسیاری از تعاریف از جمله باقی‌مانده و شاخه در هر دو یکسان می‌باشد. از آنجایی که شاخه‌ها به عنوان محل‌هایی با احتمال وقوع گسیختگی و جهش فاز به کار برده می‌شوند، طول کل درخت حد بالای طول گسیختگی‌ها می‌باشد. از این‌رو، کمینه‌کردن طول درخت یک هدف معقول و مناسب است، اما پیدا کردن مقدار دقیق کمینه آن یک مسئله سخت است [۷]. چون افزایش طول درخت الزاماً طول گسیختگی‌ها را افزایش نمی‌دهد، بسیاری از شاخه‌های درخت بیانگر گسیختگی نخواهند بود. بدین سبب، تغییراتی در الگوریتم حذف شاخه‌ها ایجاد شده است. هنگامی که یک درخت خنثی شد، درخت بعدی از نزدیک‌ترین باقی‌مانده به این درخت آغاز می‌شود و عملاً این درخت با یک شاخه به درخت بعدی وصل می‌شود. به عبارت دیگر، درخت واحدی تشکیل می‌گردد که تمامی بارها را در بر می‌گیرد (۴-الف). انتخاب نزدیک‌ترین باقی‌مانده با توجه به فواصل وزن‌دار صورت می‌گیرد [۷]. به طور کلی، این درخت یک درخت اشتاینر کمینه^۵ نخواهد بود، اما این فرآیند درخت پوشای کمینه‌ای را ایجاد می‌کند که تقریبی از درخت اشتاینر کمینه است. در یک درخت اشتاینر کمینه محل اتصال شاخه‌ها تنها محدود به نقاط باقی‌مانده نیست (شکل ۵).

4- Isolated
5- Minimum Steiner tree

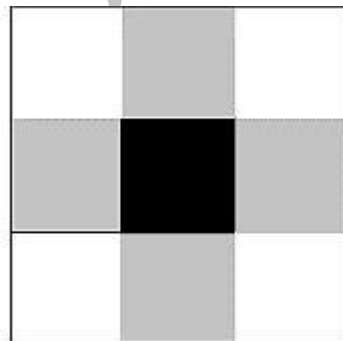
S تصویر پیرو می‌باشد. پیکسلی که دارای بالاترین میزان همبستگی است به عنوان پیکسل اولیه برای شروع فرآیند بازیابی فاز در نظر گرفته می‌شود.

۳-۲-۲- واریانس مشتق فازها

استفاده از واریانس مشتق فازها [۸] یکی از اولین روش‌ها برای تعیین مسیر بازیابی فاز می‌باشد. از این روش برای ساخت یک نقشه کیفیت به منظور هدایت مسیر بازیابی فاز استفاده می‌شود. واریانس اختلاف فازها برای چهار پیکسل کناری محاسبه می‌گردد و سپس تمامی آن‌ها با هم جمع می‌شوند.

$$PDV^k = \sum_{n=0}^N \sigma_x^2(n) + \sigma_y^2(n) \quad (16)$$

که در آن، N شامل چهار پیکسل کناری و k اندیس پیکسل مرکزی می‌باشد. نحوه قرارگیری چهار پیکسل کناری به همراه پیکسل مرکزی در شکل (۳) نمایش داده شده است.



شکل (۳): نحوه قرارگیری پیکسل‌ها. پیکسل مرکزی به رنگ سیاه و پیکسل‌های کناری به رنگ خاکستری نمایش داده شده‌اند.

۴-۲-۲- حذف شاخه‌ها (حذف باقی‌مانده‌ها)^۶

سرعت و دقیقی الگوریتم حذف شاخه‌ها [۵]، صرف‌نظر از عدم توانایی آن در ارائه یک راه حل کامل، آن را بسیار محبوب کرده است. در این الگوریتم یک باقی‌مانده غیرصفر یا باز با استفاده از فازهای بازیابی‌نشده شناسایی می‌شود. یک شاخه بین این باقی‌مانده و نزدیک‌ترین باقی‌مانده بعدی، صرف‌نظر از علامت آن (ثبت یا منفی‌بودن) رسم می‌گردد. این سرآغاز یک درخت را تشکیل می‌دهد. اگر این درخت خنثی نباشد، نزدیک‌ترین باقی‌مانده بعدی به آن وصل می‌شود.

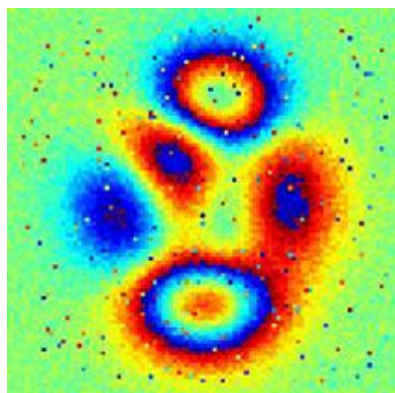
این روند تا زمانی ادامه می‌یابد که این درخت خنثی شود. در این هنگام، یک باقی‌مانده دیگر به عنوان ریشه یک درخت جدید درنظر گرفته می‌شود (شکل ۴-الف). هنگامی که تمامی بارها بر روی درخت‌های خنثی قرار گرفتند، با استفاده از الگوریتم پرکردن سیلابی^۷ فازها به نحوی با یکدیگر جمع می‌شوند که در

1- Phase Derivative Variance (PDV)
2-Branch-cut (residue-cut)
3- Flood-fill

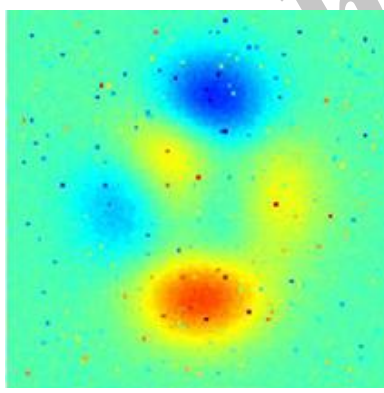
SNAPHU [۱۵] به عنوان یکی دیگر از مناسب‌ترین و دقیق‌ترین روش‌های بازیابی فاز به صورت عمومی و سراسری، در کنار سه روش دیگر ارزیابی شده است.

۱-۳- داده‌های شبیه‌سازی شده

چهار الگوریتم انتخاب شده بروی یک تداخل نگاشت شبیه‌سازی شده اعمال شده‌اند و نتایج آن‌ها با نتایج فازهای بازیابی شده حقیقی مقایسه شده است. شکل (۶-الف) تداخل نگاشت با فازهای بازیابی نشده شبیه‌سازی شده که آغشته به نویز ضربه‌ای می‌باشد را نمایش می‌دهد. برای افزایش پیچیدگی در داده‌های شبیه‌سازی شده، فرض شده است که تداخل نگاشت شبیه‌سازی شده شامل ترکیب چند سیگنال جابه‌جایی باشد. شکل (۶-الف) یک تداخل نگاشت شامل فازهای بازیابی نشده است که نتیجه مدوله کردن فازهای بازیابی شده شبیه‌سازی شده می‌باشد (شکل ۶-ب).



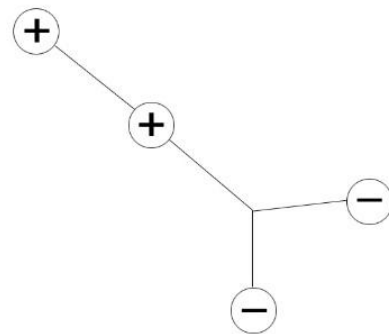
(الف)



(ب)

شکل (۶): (الف) تداخل نگاشت شبیه‌سازی شده حاصل از مدوله شدن فازهای بازیابی شده شبیه‌سازی شده. (ب) فازهای بازیابی شده شبیه‌سازی شده.

نتایج حاصل از اعمال چهار الگوریتم موردنظر بروی تداخل نگاشت شبیه‌سازی شده در شکل (۶-الف) را می‌توان در شکل (۷) مشاهده کرد.



شکل (۵): نمایش یک درخت اشتاینر کمینه.

۲-۲-۶- واریانس مشتق فازها - حذف شاخه‌ها^۱

در الگوریتم حذف شاخه‌ها اگر شاخه‌ها به درستی تعیین گردد، جواب مسئله یکتا خواهد بود. بنابراین، فرآیند بازیابی فاز مستقل از مسیر خواهد شد. از این ویژگی برای بهبود کارایی دیگر الگوریتم‌ها استفاده می‌شود. الگوریتم ارائه شده در اینجا ترکیبی از دو روش واریانس مشتق فازها و روش حذف شاخه‌ها می‌باشد [۹]. مراحل انجام الگوریتم به شرح ذیل می‌باشد: ۱- ابتدا محل قرارگیری باقی‌ماندهای مشخص می‌شود. ۲- شاخه‌ها و درخت‌ها تشکیل و جانمایی می‌شوند. ۳- شاخه‌ها و درخت‌ها کنار گذاشته می‌شوند. ۴- در انتهای توسط واریانس مشتق فازها نقشه کیفیتی که انگرسیختگی‌ها از روی آن برداشته شده است، تعیین می‌شود.

۲-۲-۷- کمترین مربعات وزن‌دار - حذف شاخه‌ها^۲

از دیگر نمونه‌های ترکیب روش حذف شاخه‌ها با دیگر الگوریتم‌ها جهت بهبود فرآیند بازیابی فاز می‌توان به روش کمترین مربعات وزن‌دار - حذف شاخه‌ها [۵] اشاره کرد. در این روش، مقدار وزن باقی‌ماندهای و شاخه‌ها در ماتریس وزن، به نحوی تعیین می‌شوند که کمترین تأثیر را در تابع هدف داشته باشند.

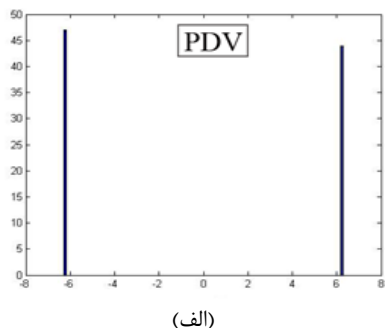
۳- مقایسه عملکرد الگوریتم‌ها

در این بخش چهار روش از مناسب‌ترین الگوریتم‌های بازیابی فاز بر روی تداخل نگاشت‌های شبیه‌سازی شده و واقعی اعمال شده‌اند. به منظور مقایسه عملکرد روش‌های بازیابی فاز از میان الگوریتم‌های بازیابی فاز به صورت موضعی الگوریتم حذف شاخه‌ها به عنوان یک نمونه از پرکاربردترین روش‌های براساس مسیرهای دنبال‌شونده و روش واریانس مشتق فازها به عنوان نمونه‌ای از پرکاربردترین روش‌های برمبنای نقشه‌های هزینه پیاده‌سازی شده‌اند. در مقابل، روش کم‌هزینه‌ترین جریان به عنوان نمونه‌ای از بهترین روش‌های بازیابی فاز به صورت عمومی یا سراسری پیاده‌سازی شده است. علاوه‌بر این، نتیجه اعمال الگوریتم

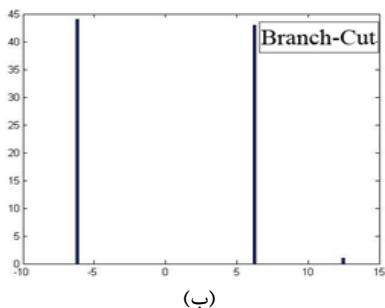
1- Phase derivative values–Branch cut

2- Weighted least squares–Branch cut

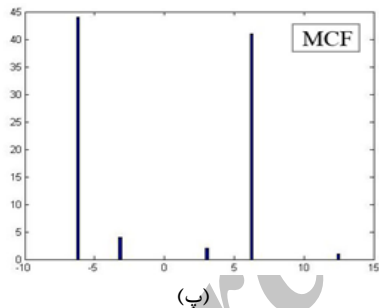
الگوریتم‌ها، نتایج هر چهار روش با مقدار فازهای بازیابی شده حقیقی شکل (۶-ب) مقایسه شده‌اند. هیستوگرام خطای آن‌ها ترسیم شده است. شکل (۸) هیستوگرام خطای هریک از روش‌ها را نمایش می‌دهد.



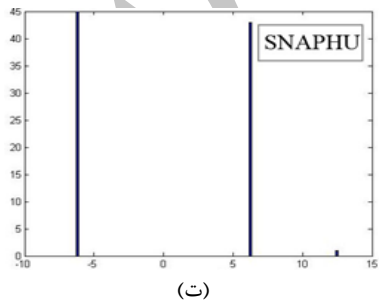
(الف)



(ب)

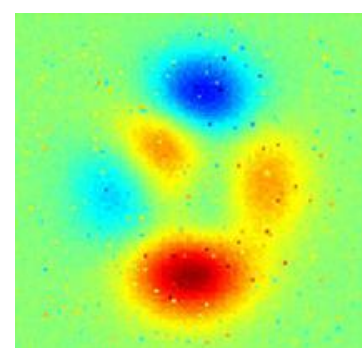


(پ)

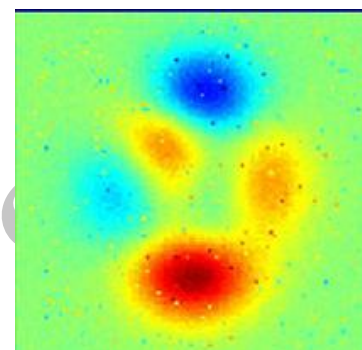


(ت)

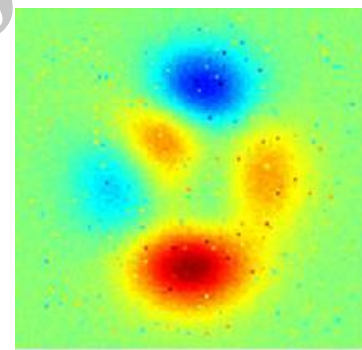
شکل (۸): هیستوگرام خطاهای اشکال الف، ب، پ، ت به ترتیب هیستوگرام تفاضل فازهای بازیابی شده حقیقی از نتایج الگوریتم‌های واریانس مشتق فازها (PDV)، حذف شاخه‌ها (Branch-Cut)، کم‌هزینه‌ترین جریان (MCF) و SNAPHU می‌باشند. محور افقی مقدار خطای بازیابی فاز بر حسب رادیان و محور عمودی فراوانی می‌باشد. در بین هیستوگرام‌های نمایش داده شده در شکل (۸)، فراوانی خطای در روش واریانس مشتق فازها و کم‌هزینه‌ترین



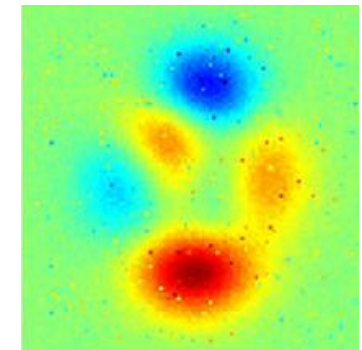
(الف)



(ب)



(پ)



(ت)

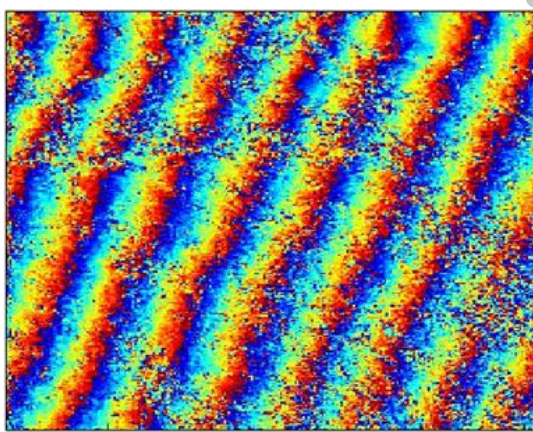
شکل (۷): فازهای بازیابی شده تداخل‌نگاشت شبیه‌سازی شده. اشکال الف، ب، پ و ت به ترتیب نتیجه فازهای بازیابی شده توسط الگوریتم‌های واریانس مشتق فازها، حذف شاخه‌ها، کم‌هزینه‌ترین جریان و SNAPHU می‌باشند.

برای ارائه یک معیار کمی مناسب از صحت عملکرد



شکل (۹): منطقه تحت پوشش تصویر ENVISAT ASAR که با مستطیل قرمز رنگ نمایش داده شده است و منطقه مطالعاتی دشت تهران که با رنگ سفید نسبت به دیگر مناطق مجزا شده است.

شکل (۱۰) تداخل نگاشت ایجادشده مربوط به بخشی از منطقه دشت شهریار- تهران را نمایش می دهد که در آن فرینچ ها^۳ کاملاً مشهود هستند. همچنین، در برخی مناطق می توان مشاهدات نویزی را دید که باعث ایجاد خطای بازیابی فاز می شوند.



شکل (۱۰): تداخل نگاشت ایجادشده براساس داده های واقعی.

یکی از مهم ترین و پر کاربردترین الگوریتم هایی که فازها را به صورت موضعی و با استفاده از مسیرهای دنبال شونده بازیابی می کند، الگوریتم حذف شاخه ها می باشد. (شکل (۱۰) می باشد. همان طور که در بخش قبل به آن اشاره شد، این روش به دنبال جانمایی و به دنبال آن دوری از نقاط و مناطقی است که احتمال گسیختگی در آن ها بیشتر از دیگر نقاط در سطح تداخل نگاشت است. در شکل (۱۱) می توان مشاهده کرد که این مزه های گسیختگی جهش های

جريان تقریباً بیشتر از دو روش دیگر می باشد. همچنین، با مقایسه هیستوگرام خطای دو روش حذف- شاخه ها و SNAPHU می توان دید که فراوانی خطای در نتایج حاصل از الگوریتم حذف شاخه ها کمتر است. به علاوه، برای مقایسه بهتر نتایج چهار روش، تعداد پیکسل هایی که اشتباہ بازیابی شده اند و میانگین قدر مطلق خطای نسبی^۱ نیز به عنوان معیاری عددی از دقت عملکرد روش ها در جدول (۱) بیان شده است.

جدول (۱): مقایسه عملکرد چهار روش بازیابی فاز.

روش های بازیابی فاز	SNAPHU	MCF	Branch-Cut	PDV	میانگین قدر مطلق خطای نسبی (radian)
۰/۰۵۷۱	۰/۰۵۷۱	۰/۰۵۰۱	۰/۰۶۰۱	۰/۰۶۰۱	۰/۰۵۷۱
۸۹	۹۲	۸۸	۹۱	۹۱	تعداد خطای

با توجه به جدول (۱) و مقایسه نتایج می توان دید که در تداخل نگاشت شبیه سازی شده، الگوریتم حذف شاخه ها به سبب کمتر بودن تعداد خطای در بازیابی فازها و همچنین کمتر بودن معیار میانگین قدر مطلق خطای نسبی عملکرد به مرتبه بهتری نسبت به سه الگوریتم دیگر دارد.

۲-۳- داده های واقعی

در این بخش عملکرد الگوریتم های انتخابی بر روی داده های واقعی نیز بررسی شده است. همچنین به دلیل عدم وجود مقادیر حقیقی فازهای بازیابی شده به عنوان مبنا برای ارزیابی نتایج، نتایج چهار روش از نظر کیفی با یکدیگر مقایسه شده اند. علاوه بر این، چهار الگوریتم پیشنهادی از نقطه نظر زمان اجرا و پیچیدگی محاسباتی با یکدیگر مقایسه شده اند. در این تحقیق دو عدد تصویر راداری ماهواره ENVISAT ASAR که منطقه دشت شهریار- تهران را تحت پوشش قرار می دهند استفاده شده است. اطلاعات تصاویر استفاده شده را می توان در جدول (۲) مشاهده کرد.

جدول (۲): مشخصات تصاویر پایه و پیرو

سنسور	مسیر	گذر	تصویر پایه	تصویر پیرو
ASAR	۱۴۹	گذر پایین	2004-Oct-15	2004-Dec-24

همچنین، موقعیت جغرافیایی منطقه مطالعاتی و منطقه تحت پوشش تصویر راداری در شکل (۹) نمایش داده شده است. در تصویر کل محدوده فرونشست در دشت شهریار- تهران با رنگ سفید نسبت به دیگر مناطق تمیز داده شده است و کل محدوده تحت پوشش تصویر راداری نیز با مستطیل قرمز رنگ مشخص شده است.

۱- Mean Absolute Relative Error (MARE)

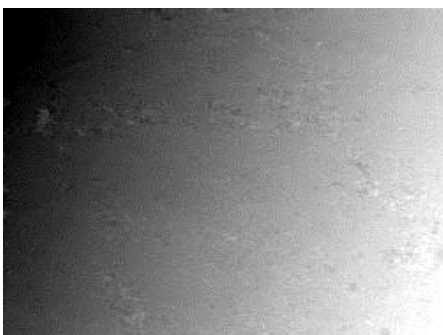
به شدت به کیفیت نقشه هزینه‌های که وظیفه هدایت مسیر بازیابی فاز را به عهده دارد وابسته است و تعیین نامناسب آن جهش‌های فازی را در سطح تداخل‌نگاشت ایجاد می‌کند.

همان‌گونه که اشاره شد در مقابل روش‌های محلی بازیابی فاز، روش‌های بازیابی فاز به صورت سراسری و عمومی قرار دارند. شکل (۱۳) نتیجه اعمال الگوریتم کم‌هزینه‌ترین جریان برروی داده‌های واقعی را نمایش می‌دهد. مطابق با آنچه در قبل به آن اشاره شد، الگوریتم‌های بازیابی فاز به صورت سراسری یک حل کلی از جواب‌های ارائه می‌دهند که موجب نرم‌بودن جواب‌ها می‌شود. اما به سبب ارائه یک حل کلی، امكان دارد که در مناطق نویزی مقدار فازهای بازیابی شده را اشتباه تخمین بزنند.



شکل (۱۳): نتیجه اعمال الگوریتم کم‌هزینه‌ترین جریان.

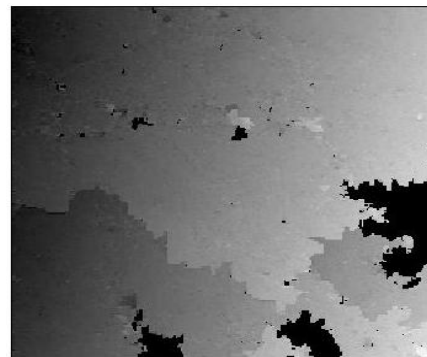
یکی از جامع‌ترین و کاربردی‌ترین روش‌های بازیابی فاز به صورت عمومی و سراسری الگوریتم SNAPHU می‌باشد که شکل (۱۴) نتیجه اعمال آن بر داده‌های تداخل سنگی را نمایش می‌دهد. مشابه با آنچه برای نتایج روش کم‌هزینه‌ترین جریان بیان شد، جواب‌های الگوریتم SNAPHU به دلیل ارائه یک حل کلی از مسئله بسیار یکنواخت و عاری از جهش‌های فاز می‌باشد. اما به علت ارائه یک حل کلی ممکن است گاهی اوقات در برخی مناطق نویزی مقدار فازهای بازیابی شده را کمتر از میزان واقعی آن‌ها تخمین بزند.



شکل (۱۴): خروجی الگوریتم SNAPHU

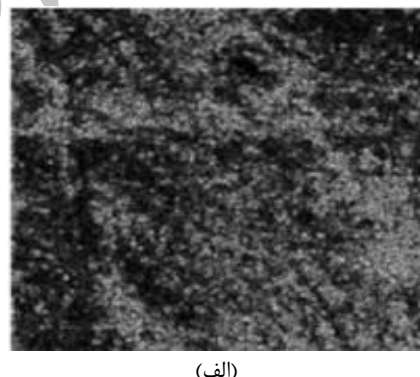
در بحث مقایسه عملکرد الگوریتم‌های بازیابی فاز در فضای

فازی را در سطح تداخل‌نگاشت ایجاد می‌کنند که به عنوان خطای بازیابی فاز در نظر گرفته می‌شود. همچنین، در مناطقی که چگالی نقاط باقی‌مانده زیاد است، مناطق ایزوله‌ای (مناطق به رنگ مشکی) ایجاد می‌شود که مقدار فاز آن‌ها بازیابی نمی‌شود.

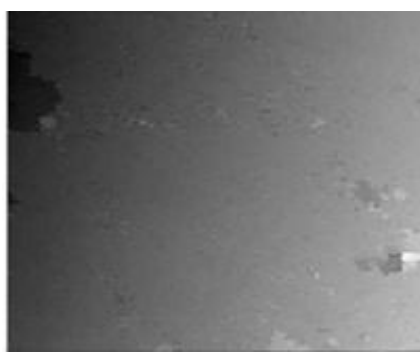


شکل (۱۱): نتیجه اعمال الگوریتم حذف شاخه‌ها. مناطق ایزوله به رنگ سیاه نمایش داده شده‌اند.

شکل (۱۲-الف) نقشه هزینه تشکیل شده بر مبنای واریانس مشتق فازها و شکل (۱۲-ب) خروجی اعمال الگوریتم واریانس مشتق فازها بر روی آن را نمایش می‌دهد.



(الف)



(ب)

شکل (۱۲): (الف) نقشه هزینه ایجاد شده به کمک اطلاعات فاز. مناطق تیره بالاترین کیفیت و مناطق روشن دارای کمترین کیفیت هستند.
ب) نتیجه اعمال روش بازیابی فاز واریانس مشتق فازها.

همان‌گونه که مشاهده می‌شود این روش مشکل مناطق ممنوعه را ندارد، اما باید به این نکته توجه داشت که این الگوریتم

روش‌های تداخل‌سنگی متداول است.

صرف نظر از نحوه توزیع نقاط در سطح یک تداخل‌نگاشت، بازیابی فاز در یک تداخل‌نگاشت دو رویکرد دارد: دسته اول روش‌هایی است که مسئله بازیابی فاز را به یک مسئله بهینه‌یابی کلی تبدیل می‌کنند و دسته دوم که سعی بر حل مسئله به صورت محلی موضعی دارند. هر کدام از این روش‌ها نسبت به یکدیگر معایب و مزایایی دارند. به عنوان مثال، روش‌هایی که مسئله را به صورت محلی و موضعی حل می‌کنند، در تقابل با دسته اول دقت و صحت بیشتری دارند. از معایب این روش‌ها می‌توان به حساسیت بالای آن‌ها به مسیر بازیابی فاز و تابع بازیابی فاز اشاره کرد.

۵- مراجع

- [1] D. C. Ghiglia and M. D. Pritt, “Two-Dimensional Phase Unwrapping: Theory, Algorithms and Software,” Wiley Blackwell, New York, 1998.
- [2] M. Costantini, “A novel phase unwrapping method based on network programming,” IEEE Transactions on Geoscience and Remote Sensing, vol. 36, no. 3, pp. 813-821, 1998.
- [3] C. W. Chen and H. A. Zebker, “Two-dimensional phase unwrapping with use of statistical models for cost function in nonlinear optimization,” The Optical Society America A, vol. 18, no. 2, pp. 338-351, 2001.
- [4] C. W. Chen and H. A. Zebker, “Phase Unwrapping for Large SAR Interferograms: Statistical Segmentation and Generalized Network Models,” IEEE Transactions on Geoscience and Remote Sensing, vol. 40, no. 8, pp. 1709-1719, 2002.
- [5] R. M. Goldstine, H. A. Zebker, and C. L. Werner, “Sattelite radar Interferometry : Two-dimentional phase unwrapping,” Radio Science, vol. 23, no. 4, pp. 713-720, 1988.
- [6] D. C. Ghiglia and L. A. Romero, “Minimum L_p -norm two-dimensional phase unwrapping,” The Optical Society of America A, vol. 13, no. 10, pp. 1999-2013, 1996.
- [7] C. W. Chen and H. A. Zebker, “Network apploaches to two-dimentional phase unwrapping intractability and two new algorithm,” The Optical Society of America A, vol. 18, no. 3, pp. 401-414, 2000.
- [8] B. R. Hunt, “Matrix Formulation of the Reconstruction of Phase Values from Phase Diffrences,” The Optical Society of America A, vol. 69, no. 3, pp. 393-399, 1979.
- [9] D. C. Ghiglia and L. A. Romero, “Robust two-dimensional weighted and unweighted phase unwrapping that uses fast transforms and iterative methods,” The Optical Society of America A, vol. 11, no. 1, pp. 107-117, 1994.
- [10] H. A. Zebker and Y. Lu, “Phase unwrapping algorithms for radar interferometry: residue-cut, least-squares, and synthesis algorithms,” The Optical Society of America A, vol. 5, no. 3, pp. 586-598, 1998.
- [11] M. D. Pritt, “Phase unwrapping by means of multigrid techniques for interferometric SAR,” IEEE Transactions Geoscience and Remote Sensing, vol. 34, no. 3, pp. 728-738, 1996.
- [12] R. K. Ahuja, T. L. Magnanti and J. B. Orlin, “Network Flows: Theory, Algorithms, and Applications,” Prentice-Hall, Englewood Cliff, New Jersy, 1993.
- [13] H. A. Zebker and J. Villasenor, “Decorrelation in interferometric radar echoes,” IEEE Transactions on Geoscience and Remote Sensing, vol. 30, no. 5, pp. 950-959, 1992.

منظمه طورکلی می‌توان گفت که در تداخل‌نگاشت‌هایی که چگالی نقاط باقی‌مانده کم است، جواب الگوریتم‌های حذف شاخه‌ها و واریانس مشتق فازها بسیار قابل اطمینان می‌باشد. اما با افزایش چگالی نقاط باقی‌مانده و افزایش مقدار نویز در سطح تداخل‌نگاشت، جهش‌های فاز و مناطق ایزوله‌ای در خروجی روش حذف شاخه‌ها ایجاد می‌شوند. با افزایش چگالی نقاط باقی‌مانده، الگوریتم‌هایی که براساس تئوری شبکه‌ها ایجاد شده‌اند مثل SNAPHU حل کارآمدتر و مناسب‌تری را ارائه می‌دهند. علاوه‌بر این، در این موقع با استفاده از الگوریتم واریانس مشتق فازها- حذف شاخه‌ها می‌توان به پاسخی هم‌ارز با پاسخ الگوریتم SNAPHU دست یافت [۱۴].

همچنین مدت زمان اجرای چهار الگوریتم پیشنهادی در سطح منطقه مطالعاتی را می‌توان در جدول (۳) مشاهده کرد.

جدول (۳): مقایسه مدت زمان اجرای الگوریتم‌های استفاده‌شده.

SNAPHU	MCF	Branch-Cut	PDV	روش بازیابی فاز
۶/۹۸	۸/۱۵	۲۰/۲۳	۱۴/۷۷	زمان اجرا (ثانیه)

با مقایسه مدت زمان اجرای الگوریتم‌ها می‌توان مشاهده کرد که روش‌های بازیابی فاز به صورت محلی به دلیل پیچیدگی محاسباتی مدت زمان پردازش بیشتری نسبت به روش‌های بازیابی فاز به صورت سراسری دارند. الگوریتم حذف شاخه‌ها به دلیل استفاده از روش دایجسترا برای تعیین محل ناپیوستگی‌ها دارای پیچیدگی محاسباتی از درجه $O(n^2)$ می‌باشد که با افزایش محدوده منطقه مطالعاتی پیچیدگی محاسباتی به مراتب بیشتر خواهد شد و به دنبال آن، زمان پردازش افزایش خواهد یافت. اما با کاهش محدوده منطقه مطالعاتی سرعت عملکرد روش‌ها تقریباً یکسان خواهد بود.

۴- نتیجه‌گیری

کاربرد اصلی تداخل‌سنگی راداری اندازه‌گیری جابه‌جاوی سطح زمین ناشی از رخدادن پدیده‌هایی مثل زمین‌لغزش، فرونخشست، زلزله یا گسل است. فازهای موجود در یک تداخل‌نگاشت در محدوده صفر تا 2π مدوله شده‌اند که برای استخراج اطلاعات توپوگرافی یا جابه‌جاوی باید بازیابی شوند. بازیابی فاز فرآیندی است به منظور برآورد فازهای بدون ابهام از آرایه‌ای دو بعدی از فازهایی که بین صفر تا 2π مدوله شده‌اند. حال بسته به این که از روش‌های تداخل‌سنگی متداول یا از پراکنش‌کننده‌های پایدار استفاده شود به ترتیب داده‌ها به صورت منظم یا نامنظم در سطح تصویر پراکنده می‌شوند. آنچه در اینجا ارزیابی شد دسته‌ای از الگوریتم‌های بازیابی فاز است که عملکرد آن‌ها براساس خروجی

- [14] B. Osmanoglu, T. H. Dixon, S. Wdowinski, and E. Cabral-Cano, “On the importance of path for phase unwrapping in synthetic aperture radar interferometry,” *Applied Optics*, vol. 50, no. 19, pp. 3205-3220, 2011.
- [15] C. W. Chen and H. A. Zebker, “Stanford Radar Interferometry Research Group,” 1 February 2003. [Online]. Available: <https://web.stanford.edu/group/radar/softwareandlinks/sw/snaphu/>.
- [16] J. J. Martinez-Espejo and T. Martinez-Marin, “An optimized algorithm for InSAR phase unwrapping based on particle filtering, matrix pencil, and region-growing techniques,” *IEEE Geoscience and Remote Sensing Letters*, vol. 6, no. 4, pp. 835-839, 2009.

Archive of SID

Assessment of Conventional Unwrapping Methods Presented to Unwrap Interferometric Phases

A. Tavakkoli-Estahbanati, M. Dehghani*, A. R. Amiri-Simkooei

Shiraz University

(Received: 30/12/2016, Accepted: 28/08/2017)

Abstract

InSAR technique can be used for extracting topography and estimating ground surface displacements. Phase unwrapping is one of the most important parts of displacement estimation from an interferogram affecting the results. Because of the nature of the phase unwrapping problem, finding the number of missed integer cycles is critical and demanding. If the conventional method is considered for interferometry, phases will spread regularly. In recent years, several algorithms have been presented to unwrap data in regular spaces. Since a comprehensive study has not been done for unwrapping methods evaluation yet, the main goal of this paper is to introduce and investigate the performance of the most important unwrapping algorithms. Moreover, unwrapping methods presented in regular space are thus investigated. Moreover, their advantages and disadvantages are fully discussed. Because regular-space methods are usually considered to unwrap phases, a number of efficient conventional unwrapping approaches have been implemented on an interferogram processed from ENVISAT ASAR satellite images acquired over the Tehran basin northeast.

Keywords: Interferogram, Phase Unwrapping, Regular Space, Conventional Interferometry

* Corresponding author E-mail: dehghani_rsgsi@yahoo.com